

Cosmological Constant Suppression in Non-Stationary Scalar Covariant State

Киселев В.В. (МФТИ, НИЦ КИ-ИФВЭ)

Айнбунд А.Б. (МФТИ)

arXiv:

e-Print: [2411.16181](#) [hep-th]

e-Print: [2501.05274](#) [hep-th]

Киселев В.В. – 19 февраля 2025

Ускоренное расширение Вселенной

Проблема масштаба $\Lambda_{DE} \sim 10^{-3}$ эВ

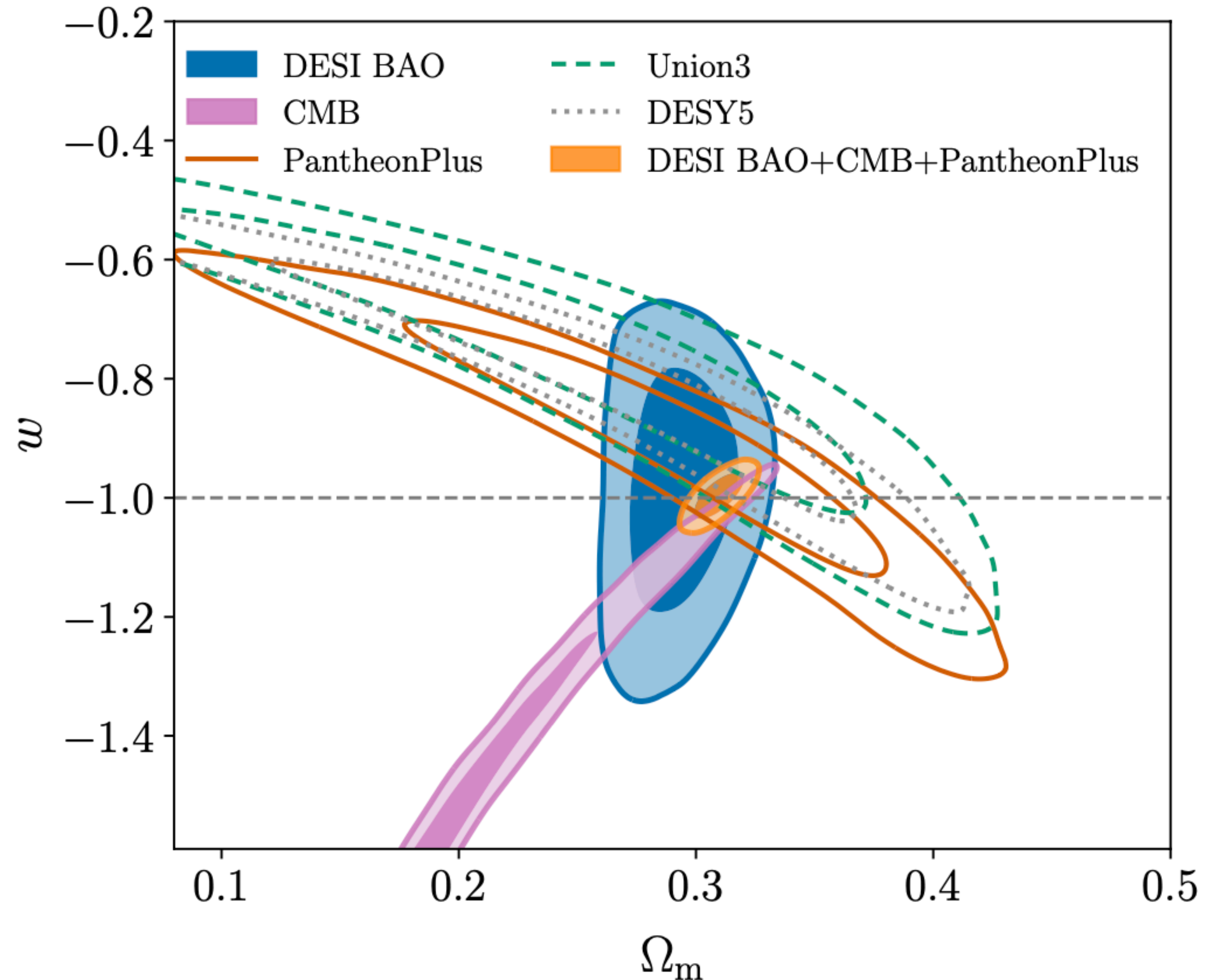
- $p = w \cdot \rho, \quad w \approx -1$

w — уравнение состояния

- $\rho = (\Lambda_{DE})^4$

- Λ CDM

$$\left. \begin{aligned} \Omega_m &= 0.3095 \pm 0.0069, \\ w &= -0.997 \pm 0.025, \end{aligned} \right\} \begin{array}{l} \text{DESI+CMB} \\ \text{+PantheonPlus} \end{array}$$



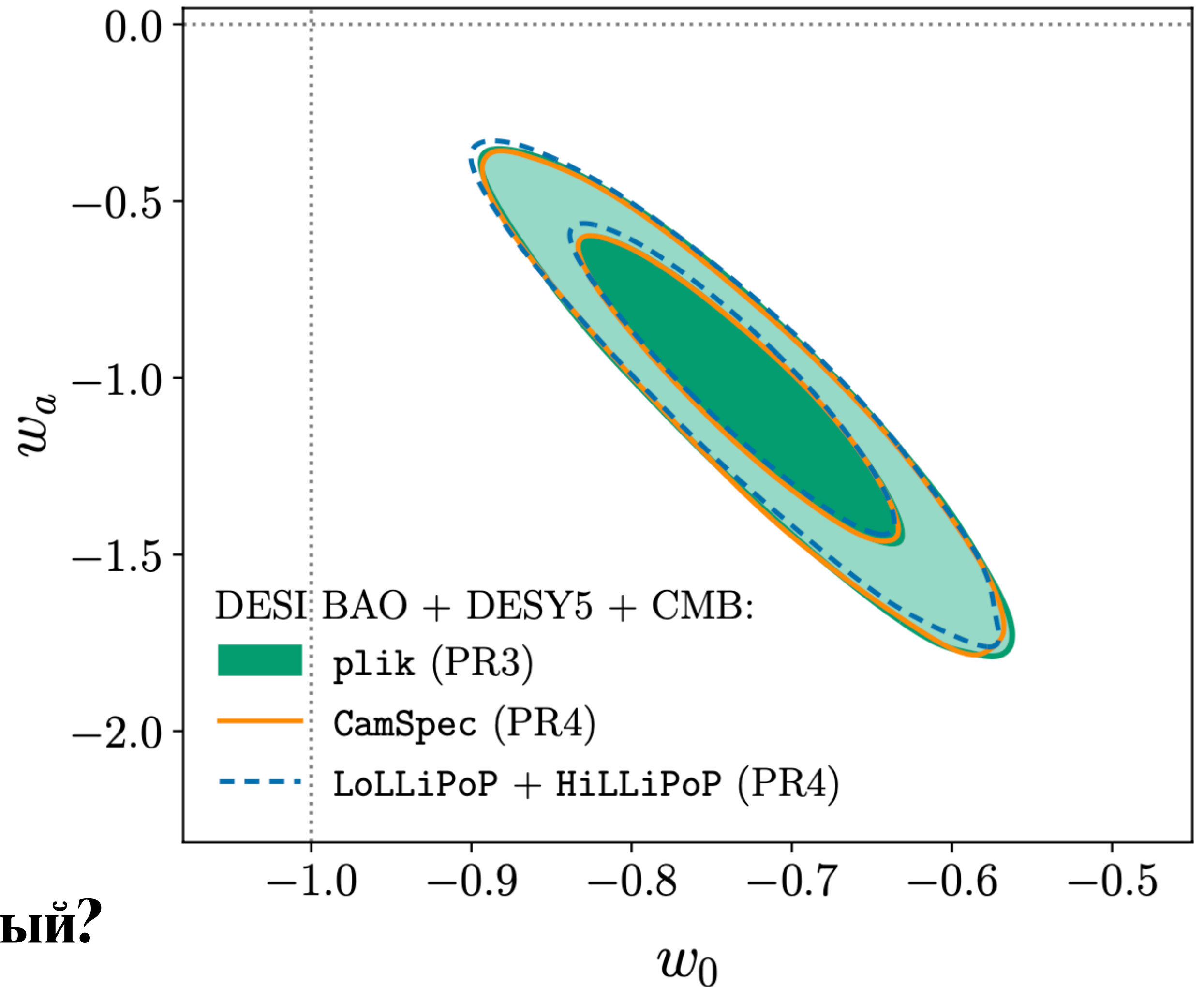
Ускоренное расширение Вселенной

Проблема масштаба $\Lambda_{DE} \sim 10^{-3}$ эВ

- $w(a) = w_0 + w_a \cdot (1-a)$,
 a — масштабный фактор
- $\rho \approx (\Lambda_{DE})^4$
- $w_0 w_a$ CDM

$$w_0 = -0.827 \pm 0.063, \quad w_a = -0.75^{+0.29}_{-0.25}$$

Масштаб $\Lambda_{DE} \sim 10^{-3}$ эВ фундаментальный?



Масштаб $\Lambda_{\text{DE}} \sim 10^{-3}$ эВ

квантовые эффекты

- Классический предел абсолютной пустоты

$$T_{\mu\nu}(\text{nothing}) \Big|_{\text{cl}} = 0$$

$$T_{\mu\nu}^{\text{cl.}} = \text{tr}(\hat{\rho} \hat{T}_{\mu\nu})$$

- квантовые флуктуации
- нестационарное состояние,
- инвариантный вакуум:

density matrix $\hat{\rho}$ for non-stationary quantum states of fields

$$\text{tr}(\hat{\rho} \hat{T}_{\mu\nu})_{\text{inv.}} = W_{\text{vac}} \cdot \langle \text{vac} | \hat{T}_{\mu\nu} | \text{vac} \rangle + \text{tr}_{\text{non-vac}}(\hat{\rho} \hat{T}_{\mu\nu}) = W_{\text{vac}} \cdot \rho_{\text{vac}}^{\text{bare}} g_{\mu\nu} + T_{\mu\nu}[\Phi_{\text{cl.}}]$$

$$\Lambda \sim 10^{16} \text{ GeV}, \quad \rho_{\text{vac}}^{\text{bare}} \sim \Lambda^4$$

$$W_{\text{vac}} \ll 1$$

теория с двумя масштабами

$$n_{\text{eff}} \sim \tilde{m}_{\text{Pl}}/\Lambda$$

$$W_{\text{vac}} = e^{-n_{\text{eff}}} \quad n_{\text{eff}} \sim 250$$

Dark Energy

и эффективное число квантов

эмпирические данные эволюции:

T_{00} и $w(a)$

$$\rho_{\text{DE}} = W_{\text{DE}} \cdot \rho_{\text{vac}}^{\text{bare}}, \quad p_{\text{DE}} = w_{\text{DE}} \cdot \rho_{\text{DE}}$$

$$\dot{\rho}_{\text{DE}} + 3H(\rho_{\text{DE}} + p_{\text{DE}}) = 0$$

$$\dot{W}_{\text{DE}} \cdot \rho_{\text{vac}}^{\text{bare}} + 3H(1 + w_{\text{DE}}) W_{\text{DE}} \cdot \rho_{\text{vac}}^{\text{bare}} = 0$$

$$N \stackrel{\text{def}}{=} \ln a(t), \quad W_{\text{DE}} = e^{-n_{\text{eff}}(N)}$$

$$n_{\text{eff}}(N) \approx n_{\text{eff}} + n' \cdot N + \frac{1}{2} n'' \cdot N^2,$$

$$w_{\text{DE}} = -1 - \frac{1}{3} (\ln W_{\text{DE}})'$$

$$w_0 = -1 + \frac{1}{3} n', \quad w_a = -\frac{1}{3} n''$$

$$0.3 < n' < 0.75, \quad 1.7 < n'' < 3,$$

- $w(a) = w_0 + w_a \cdot (1-a)$

Cut-off

действие скалярного поля

- Фурье «туда-и-обратно»
- поворот Вика «туда-и-обратно»

$$S = \int d^4x \frac{1}{2} (\phi(x) (-\partial_\mu \partial^\mu \phi(x)) - m^2 \phi^2(x))$$

4D isotropic solutions with a cut-off alike Λ

Wick rotation $p_0 = ip_4$ with $p^2 = -p_E^2$

$$S_{4D} = i \frac{1}{(2\pi)^3} \int d\Omega_3 \cdot \int p_E^3 \frac{dp_E}{2\pi} \frac{1}{2} \Phi^*(p_E) (-p_E^2 - m^2) \Phi(p_E) = \frac{i}{4\pi} \langle p_E^3 \rangle_\Lambda \int \frac{dp_E}{2\pi} \frac{1}{2} \Phi^*(p_E) (-p_E^2 - m^2) \Phi(p_E)$$

$$S_{4D} = \frac{1}{4\pi} \langle p_E^3 \rangle_\Lambda \int \frac{dk}{2\pi} \frac{1}{2} \Phi^*(k) (k^2 - m^2) \Phi(k) \quad \Phi(k) = \frac{1}{\Lambda^3} \int d\tau e^{i\tau k} \phi(\tau) \quad ip_E = k$$

$$S_{4D} = \frac{1}{4\pi} \frac{\langle p_E^3 \rangle_\Lambda}{\Lambda^6} \int d\tau \frac{1}{2} \phi(\tau) \left(-\frac{d^2}{d\tau^2} - m^2 \right) \phi(\tau)$$

Действие с $\Lambda \cong$ в конечном объеме (инвариантно)

Инвариантный вакуум

under cut-off Λ

$$\phi(x) \mapsto \phi(\tau) \quad \text{and} \quad \int d^4x \dots \partial_\mu \dots \partial_\nu \dots \mapsto \frac{1}{\Lambda^3} \int d\tau \dots \frac{1}{4} g_{\mu\nu} \frac{d}{d\tau} \dots \frac{d}{d\tau} \dots$$

$$T_{\mu\nu} = (\partial_\mu \phi)(\partial_\nu \phi) - \frac{1}{2} g_{\mu\nu} ((\partial_\lambda \phi)^2 - m^2 \phi^2) \mapsto \\ \mapsto T_{\mu\nu}^\Lambda = \frac{1}{4} g_{\mu\nu} \dot{\phi}^2 - \frac{1}{2} g_{\mu\nu} (\dot{\phi}^2 - m^2 \phi^2) = -\frac{1}{4} g_{\mu\nu} \dot{\phi}^2 + \frac{1}{2} g_{\mu\nu} m^2 \phi^2$$

$$\rho_{\text{vac}}^{\text{bare}} = \langle \text{vac} | T_{00}^\Lambda | \text{vac} \rangle = \frac{1}{8} m \Lambda^3 > 0.$$

масштабы?

Масштабы

когерентное состояние инфлатона нестационарно

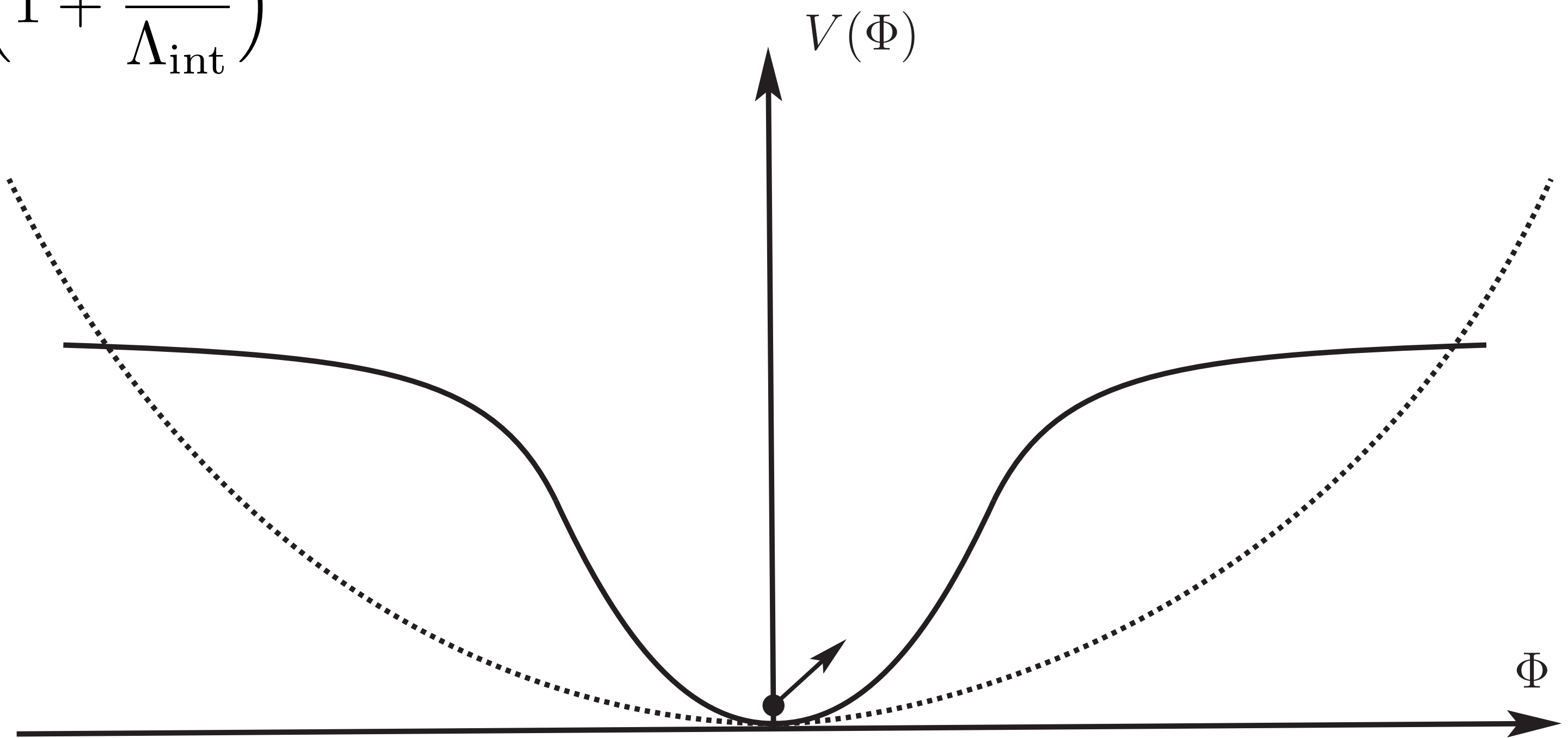
$$S_{\text{int}} + S_{\text{EH}} = -\frac{1}{2} \tilde{m}_{\text{Pl}}^2 \int d^4x \sqrt{-g} R \cdot \left(1 + \frac{\varphi}{\Lambda_{\text{int}}}\right)$$

$$g_{\mu\nu} \mapsto \frac{1}{\Omega(\varphi)} g_{\mu\nu} \quad \Omega(\varphi) = 1 + \frac{\varphi}{\Lambda_{\text{int}}}$$

$$\Phi = \tilde{m}_{\text{Pl}} \sqrt{3/2} \ln \Omega(\varphi)$$

$$V_E = \frac{1}{2} m^2 \Lambda_{\text{int}}^2 \left(1 - \exp\left(-\frac{\Phi}{\tilde{m}_{\text{Pl}}} \cdot \sqrt{2/3}\right)\right)^2$$

$$V_C = \frac{1}{2} m^2 \Lambda_{\text{int}}^2 \quad m_{\text{inf}}^2 = \frac{2}{3} m^2 \cdot \frac{\Lambda_{\text{int}}^2}{\tilde{m}_{\text{Pl}}^2}$$



Jordan frame to Einstein frame

аттрактор Старобинского (по Линде и Ко)

Масштабы

когерентное состояние инфлатона нестационарно

анализ однопетлевого эффективного действия
инфлатона при наличии обрезания

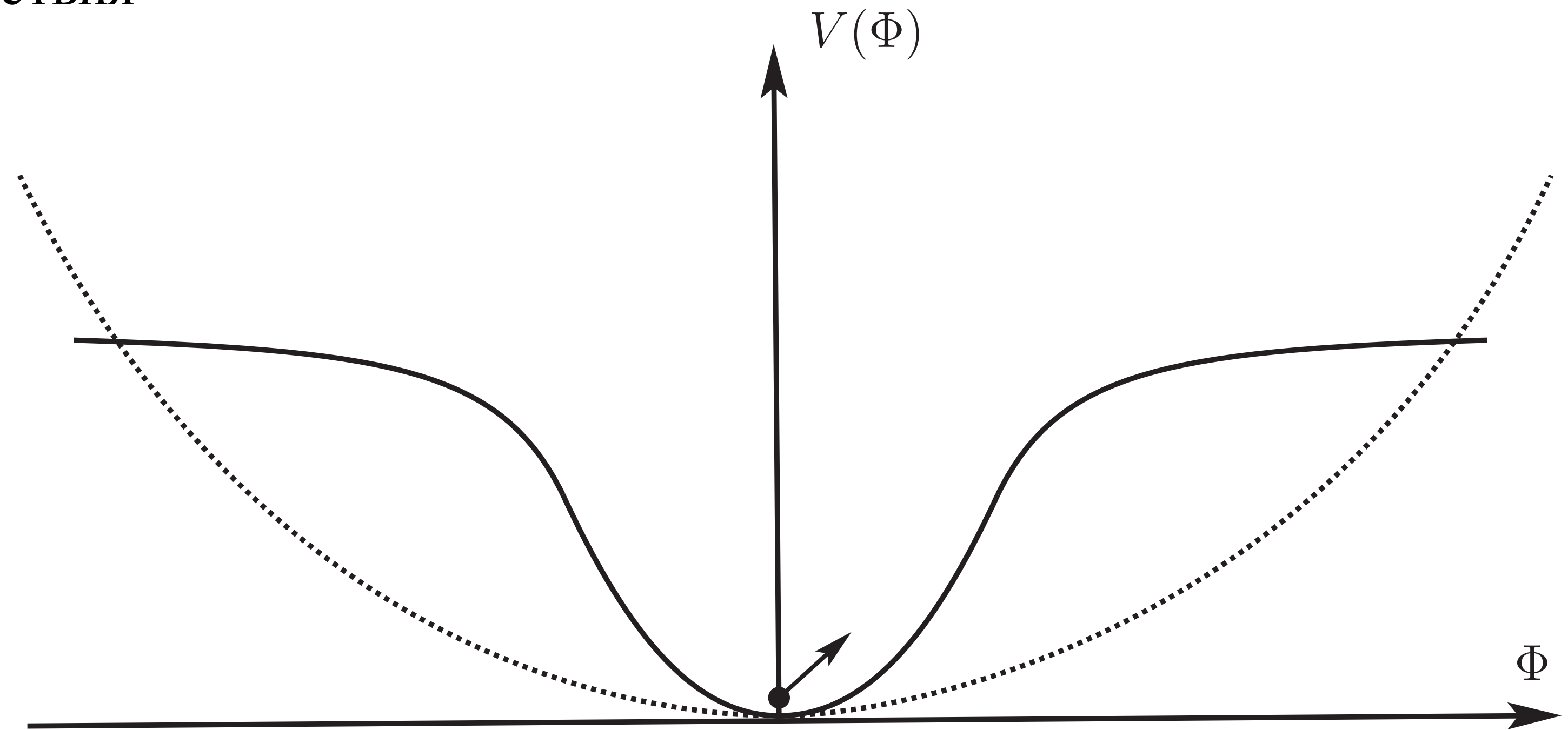
$$m \sim \Lambda \sim \Lambda_{\text{int}} \sim V_C^{1/4} \sim 10^{16} \text{ GeV}$$

в основном и когерентном состоянии

$$\frac{1}{2} m = V_{[3]} \rho_{\text{vac}}^{\text{bare}} \quad V_{[3]} = \frac{4}{\Lambda^3}$$

$$\langle E \rangle \sim \langle n \rangle m \sim \tilde{m}_{\text{Pl}}$$

$$\langle n \rangle \sim 250$$



Итоги

динамическая модель реализации космологического масштаба $\Lambda_{DE} \sim 10^{-3}$ эВ

- когерентное состояние скалярного поля с обрезанием $\Lambda \sim 10^{16}$ ГэВ **О.К.**
- 2 масштаба **О.К.**
- другие источники плотности вакуумной энергии: ρ_{add}
- ... common vacuum state
 $|0_{add}\rangle \otimes |0\rangle e^{-\langle n \rangle / 2}$

Thanks!